

Politechnika **W**arszawska

Metody Numeryczne

Projekt zaliczeniowy

Jan Gołda

Listopad 2020

Spis treści

1	Wstęp	3
1.1	Opis zjawiska	3
2	Wykorzystane algorytmy	4
2.1	Metoda Eulera	4
2.1.1	Metoda podstawowa	4
2.1.2	Metoda zmodyfikowana	4
2.1.3	Implementacja	5
2.2	Aproksymacja wielomianowa	6
2.2.1	Implementacja	6
2.3	Interpolacja funkcjami sklejanymi	7
2.3.1	Warunek 1: Każda funkcja przechodzi przez ograniczające ją węzły interpolacji	7
2.3.2	Warunek 2: Pierwsze pochodne są zgodne w punktach interpolacji	8
2.3.3	Warunek 3: Drugie pochodne są zgodne w punktach interpolacji	8
2.3.4	Warunek 4: Druga pochodna zeruje się w pierwszym i ostatnim punkcie interpolacji	8
2.3.5	Finalne równanie macierzowe	9
2.3.6	Implementacja	9
2.4	Metoda Simpsona	10
2.4.1	Implementacja	10
2.5	Generacja równo odległych węzłów	11
2.5.1	Funkcje sklepane pierwszego rzędu	11
2.5.2	Tabularyzacja funkcji	11
2.6	Metoda Newtona-Raphsona	12
2.6.1	Stabilność numeryczna	12
2.6.2	Implementacja	12
3	Część 1: Symulacja procesu wymiany ciepła	13
3.1	Wstępna weryfikacja rozwiązania	13
3.2	Przebiegi dla zadanych eksperymentów pomiarowych	15
3.3	Analiza błędów	15
3.4	Analiza wpływu parametrów	16
4	Część 2: Wyznaczanie funkcji współczynnika ciepła	17
4.1	Generacja równoodległych węzłów	17
4.2	Aproksymacja wielomianowa	18
4.3	Interpolacja funkcjami sklejanymi	18
4.4	Różnica przebiegów	19
4.5	Wpływ dynamicznego współczynnika h na symulację	21
5	Część 3: Wyznaczanie minimalnej masy oleju	22
6	Część 4: Optymalizacja procesu chłodzenia	24

1 Wstęp

Celem projektu opisanego w tym raporcie było świadome zaimplementowanie oraz wykorzystanie różnorodnych technik z zakresu metod numerycznych w celu symulacji oraz optymalizacji procesu fizycznego.

1.1 Opis zjawiska

Symulowane zjawisko polega na hartowaniu metalowych prętów, a konkretniej na etapie hartowania polegającym na ich chłodzeniu. Do tego celu wykorzystuje się zbiorniki ze specjalnym olejem, który w procesie wymiany ciepła gwałtownie chłodzi zanurzone w nim pręty.

Wymiana ta może być przybliżona następującym opisem fizycznym (jest to opis znaczeni uproszczony, pomijający takie aspekty jak wymiana ciepła ze zbiornikiem, otoczeniem itp.):

$$\frac{m_b c_b}{hA} \frac{dT_b}{dt} + T_b = T_w \quad (1a)$$

$$\frac{m_w c_w}{hA} \frac{dT_w}{dt} + T_w = T_b \quad (1b)$$

Gdzie korzystamy z oznaczeń:

m_b, m_c

Masa wyrażona w kg , odpowiednio pręta i oleju chłodzącego.

c_b, c_w

Ciepło właściwe wyrażane w $\frac{J}{kg \cdot K}$ opisujące energię potrzebną do zmiany temperatury odpowiednio pręta i oleju w jednostce masy o jednostkę ciepła.

T_b, T_w

Temperatura wyrażana w $^{\circ}C$ odpowiednio prętu i oleju

A

Powierzchnia wymiany ciepła pomiędzy prętem a olejem wyrażana w m^2

h

Przewodność cieplna wyrażana w $\frac{J}{s \cdot m^2}$ opisująca zdolność substancji do przekazywania ciepła

2 Wykorzystane algorytmy

W rozdziale tym opisane zostały wykorzystane algorytmy oraz przedstawiona została ich implementacja.

2.1 Metoda Eulera

Do symulacji badanego zjawiska polegającego na wymianie ciepła pomiędzy prętem a cieczą chłodzącą wykorzystano numeryczny algorytm rozwiązywania równań różniczkowych nazywany metodą Eulera.

Zrealizowany został on w dwóch wersjach, różniących się sposobem obliczania Δy . W pierwszej, zwanej podstawową, zmiana y obliczana jest według wzoru:

$$\Delta y = hf(x_n, y_n) \quad (2)$$

Natomiast w drugiej, zwanej zmodyfikowaną wykorzystuje się:

$$\Delta y = f\left(x_n + \frac{h}{2}, y_n + \frac{h}{2}f(x_n, y_n)\right) \quad (3)$$

2.1.1 Metoda podstawowa

Proces wymiany ciepła zadany został jako układ dwóch równań różniczkowych zwyczajnych:

$$\frac{m_b c_b}{hA} \frac{dT_b}{dt} + T_b = T_w \quad (4a)$$

$$\frac{m_w c_w}{hA} \frac{dT_w}{dt} + T_w = T_b \quad (4b)$$

Który przekształcony może zostać do:

$$dT_b(x) = \frac{hA}{m_b c_b} x dt \quad (5a)$$

$$dT_w(x) = \frac{hA}{m_w c_w} x dt \quad (5b)$$

Korzystając z tego możemy zapisać wzór na krok metody Eulera:

$$T_b^{(i+1)} = T_b^{(i)} + dT_b (T_w^{(i)} - T_b^{(i)}) \quad (6a)$$

$$T_w^{(i+1)} = T_w^{(i)} + dT_w (T_b^{(i)} - T_w^{(i)}) \quad (6b)$$

2.1.2 Metoda zmodyfikowana

Wzory na zmodyfikowaną metodę Eulera możemy wyznaczyć na podstawie równania (3) wykorzystując dT_b oraz dT_w wyznaczone w (5):

$$T_b^{(i+\frac{1}{2})} = T_b^{(i)} + \frac{1}{2} dT_b (T_w^{(i)} - T_b^{(i)}) \quad (7a)$$

$$T_w^{(i+\frac{1}{2})} = T_w^{(i)} + \frac{1}{2} dT_w (T_b^{(i)} - T_w^{(i)}) \quad (7b)$$

$$T_b^{(i+1)} = T_b^{(i)} + dT_b \left(T_w^{(i+\frac{1}{2})} - T_b^{(i+\frac{1}{2})} \right) \quad (8a)$$

$$T_w^{(i+1)} = T_w^{(i)} + dT_w \left(T_b^{(i+\frac{1}{2})} - T_w^{(i+\frac{1}{2})} \right) \quad (8b)$$

2.1.3 Implementacja

Poniższa funkcja implementuje powyższe dwie metody wykorzystując do tego bibliotekę NumPy oraz mechanizm generatorów, który dostępny jest w języku Python.

```
1 def heat_exchange_simulation(Tb, Tw, mb, mw, cb, cw, k, a, dt, improved=True):
2     h = k if callable(k) else (lambda dT: k)
3
4     t = 0.0
5     T = np.array([Tb, Tw])
6     m = np.array([mb, mw])
7     c = np.array([cb, cw])
8
9     dT = lambda T: h(np.diff(T)) * a / m / c * np.diff(T) * np.array([1, -1])
10
11     while True:
12         yield t, *T
13         t += dt
14
15         if improved:
16             Tp = T + dt/2 * dT(T)
17             T += dt * dy(Tp)
18         else:
19             T += dt * dy(T)
```

Kod źródłowy 1: Metoda Eulera

W praktyce powyższy kod został następnie przekształcony do postaci obiektowej, co zmniejszyło jego czytelność ale ułatwiło wykorzystanie w eksperymentach.

2.2 Aproksymacja wielomianowa

Jednym z algorytmów wykorzystanych w projekcie był algorytm aproksymacji wielomianowej metodą najmniejszych kwadratów.

Metoda ta polega na dopasowaniu wielomianu $W_m(x)$ zadanego stopnia m tak aby błąd aproksymacji wyrażony jako suma kwadratów odległości w punktach x_i pomiędzy y_i a $W_m(x_i)$ był jak najmniejszy.

Tak sformułowane zadanie można wyrazić równaniem macierzowym:

$$M^T M A = M^T Y \quad (9)$$

Po przekształceniu:

$$A = (M^T M)^{-1} M^T Y \quad (10)$$

Gdzie:

$$M = \begin{bmatrix} x_0^0 & x_0^1 & \cdots & x_0^m \\ x_1^0 & x_1^1 & \cdots & x_1^m \\ \vdots & \vdots & \ddots & \vdots \\ x_n^0 & x_n^1 & \cdots & x_n^m \end{bmatrix} \quad Y = \begin{bmatrix} y_0 \\ y_1 \\ \vdots \\ y_n \end{bmatrix} \quad (11)$$

W efekcie otrzymując macierz A zawierającą współczynniki poszukiwanego wielomianu stopnia m .

2.2.1 Implementacja

```
1 class PolynomialApproximation:
2
3     def __init__(self, samples, degree):
4         self._samples = samples
5         self._degree = degree
6
7     def __call__(self, x):
8         return (self._matrix_A * x ** np.arange(self._degree + 1)).sum()
9
10    @cached_property
11    def _matrix_A(self):
12        M = self._matrix_M
13        Y = self._matrix_Y
14        return np.linalg.inv(M.T.dot(M)).dot(M.T).dot(Y)
15
16    @cached_property
17    def _matrix_M(self):
18        return self._samples[:, :1] ** np.arange(self._degree + 1)
19
20    @cached_property
21    def _matrix_Y(self):
22        return self._samples[:, 1]
```

Kod źródłowy 2: Aproksymacja wielomianowa

2.3 Interpolacja funkcjami sklejanymi

W przypadku interpolacji funkcjami sklejanymi skorzystałem z wersji algorytmu, z którym miałem do czynienia już wcześniej. Pozwala on na tworzenie funkcji sklepanych bez ograniczenia co do odległości pomiędzy węzłami interpolacji.

Mając dane węzły interpolacji:

$$\{(x_0, y_0), (x_1, y_1), \dots, (x_n, y_n)\} \quad (12)$$

Poszukiwaliśmy funkcji sklepanej o następującej postaci:

$$f(x) = \begin{cases} f_1(x) & \text{for } x \in (-\infty, x_1) \\ \vdots \\ f_k(x) & \text{for } x \in [x_{k-1}, x_k) \\ \vdots \\ f_n(x) & \text{for } x \in [x_{n-1}, x_n) \end{cases} \quad (13)$$

Gdzie:

$$f_k(x) = a_k x^3 + b_k x^2 + c_k x + d_k \quad (14)$$

Aby znaleźć te funkcje rozwiązany został układ równań z $4n$ niewiadomymi:

$$A_{4n \times 4n} X_{4n} = B_{4n} \quad (15)$$

Równania te bazują na czterech warunkach.

2.3.1 Warunek 1: Każda funkcja przechodzi przez ograniczające ją węzły interpolacji

Warunek ten wyrażony może być jako (gdzie $k \in \{1, 2, \dots, n\}$):

$$\begin{cases} f_k(x_{k-1}) = y_{k-1} \\ f_k(x_k) = y_k \end{cases} \quad (16)$$

Co daje nam:

$$\begin{cases} a_k x_{k-1}^3 + b_k x_{k-1}^2 + c_k x_{k-1} + d_k = y_{k-1} \\ a_k x_k^3 + b_k x_k^2 + c_k x_k + d_k = y_k \end{cases} \quad (17)$$

A zatem uzyskujemy macierz A_1 rozmiaru $(2n \times 4n)$:

$$A_1 = \begin{bmatrix} x_0^3 & x_0^2 & x_0^1 & x_0^0 & 0 & 0 & 0 & 0 & \cdots \\ x_1^3 & x_1^2 & x_1^1 & x_1^0 & 0 & 0 & 0 & 0 & \cdots \\ 0 & 0 & 0 & 0 & x_1^3 & x_1^2 & x_1^1 & x_1^0 & \cdots \\ 0 & 0 & 0 & 0 & x_2^3 & x_2^2 & x_2^1 & x_2^0 & \cdots \\ \vdots & \vdots & \vdots & \vdots & \vdots & \vdots & \vdots & \vdots & \ddots \end{bmatrix} \quad (18)$$

Oraz macierz B_1 rozmiaru $(2n \times 1)$:

$$B_1 = \begin{bmatrix} y_0 \\ y_1 \\ \vdots \end{bmatrix} \quad (19)$$

2.3.2 Warunek 2: Pierwsze pochodne są zgodne w punktach interpolacji

Co możemy wyrazić jako (gdzie $k \in \{1, 2, \dots, n-1\}$):

$$\frac{d}{dx}f_k(x_k) = \frac{d}{dx}f_{k+1}(x_k) \quad (20)$$

Co daje nam:

$$3a_kx_k^2 + 2b_kx_k + c_k + 1 = 3a_{k+1}x_k^2 + 2b_{k+1}x_k + c_{k+1} + 1 \quad (21a)$$

$$3a_kx_k^2 + 2b_kx_k + c_k - 3a_{k+1}x_k^2 - 2b_{k+1}x_k - c_{k+1} = 0 \quad (21b)$$

A zatem uzyskujemy macierz A_2 rozmiaru $(n-1 \times 4n)$:

$$A_2 = \begin{bmatrix} 3x_1^2 & 2x_1^1 & x_1^0 & 0 & -3x_1^2 & -2x_1^1 & -x_1^0 & 0 & \cdots \\ 0 & 0 & 0 & 0 & 3x_2^2 & 2x_2^1 & x_2^0 & 0 & \cdots \\ \vdots & \vdots & \vdots & \vdots & \vdots & \vdots & \vdots & \vdots & \ddots \end{bmatrix} \quad (22)$$

Oraz macierz B_2 rozmiaru $(n-1 \times 1)$:

$$B_2 = \begin{bmatrix} 0 \\ 0 \\ \vdots \end{bmatrix} \quad (23)$$

2.3.3 Warunek 3: Drugie pochodne są zgodne w punktach interpolacji

Warunek ten wyrażony może być jako (gdzie $k \in \{1, 2, \dots, n-1\}$):

$$\frac{d^2}{dx^2}f_k(x_k) = \frac{d^2}{dx^2}f_{k+1}(x_k) \quad (24)$$

Co daje nam:

$$6a_kx_k + 2b_k + 1 = 6a_{k+1}x_k + 2b_{k+1} + 1 \quad (25a)$$

$$6a_kx_k + 2b_k - 6a_{k+1}x_k - 2b_{k+1} = 0 \quad (25b)$$

A zatem uzyskujemy macierz A_3 rozmiaru $(n-1 \times 4n)$:

$$A_3 = \begin{bmatrix} 6x_1^1 & 2x_1^0 & 0 & 0 & -6x_1^1 & -2x_1^0 & 0 & 0 & \cdots \\ 0 & 0 & 0 & 0 & 6x_2^1 & 2x_2^0 & 0 & 0 & \cdots \\ \vdots & \vdots & \vdots & \vdots & \vdots & \vdots & \vdots & \vdots & \ddots \end{bmatrix} \quad (26)$$

Oraz macierz B_3 rozmiaru $(n-1 \times 1)$:

$$B_3 = \begin{bmatrix} 0 \\ 0 \\ \vdots \end{bmatrix} \quad (27)$$

2.3.4 Warunek 4: Druga pochodna zeruje się w pierwszym i ostatnim punkcie interpolacji

Co możemy wyrazić jako:

$$\begin{cases} \frac{d^2}{dx^2}f_1(x_0) = 0 \\ \frac{d^2}{dx^2}f_n(x_n) = 0 \end{cases} \quad (28)$$

Co daje nam:

$$\begin{cases} 6a_1x_0 + 2b_1 + 1 = 0 \\ 6a_nx_n + 2b_n + 1 = 0 \end{cases} \quad (29)$$

A zatem uzyskujemy macierz A_4 rozmiaru $(2 \times 2n)$:

$$A_4 = \begin{bmatrix} 6x_0 & 2 & 1 & 0 & \cdots & 0 & 0 & 0 & 0 \\ 0 & 0 & 0 & 0 & \cdots & 0 & 6x_n & 2 & 1 \end{bmatrix} \quad (30)$$

Oraz macierz B_4 rozmiaru (2×1) :

$$B_4 = \begin{bmatrix} 0 \\ 0 \end{bmatrix} \quad (31)$$

2.3.5 Finalne równanie macierzowe

Finalne równanie macierzowe ma postać $AX = B$, gdzie:

$$A = \begin{bmatrix} A_1 \\ A_2 \\ A_3 \\ A_4 \end{bmatrix} X = \begin{bmatrix} a_1 \\ b_1 \\ c_1 \\ d_1 \\ a_2 \\ b_2 \\ c_2 \\ d_2 \\ \vdots \end{bmatrix} B = \begin{bmatrix} B_1 \\ B_2 \\ B_3 \\ B_4 \end{bmatrix} \quad (32)$$

2.3.6 Implementacja

Finalna implementacja opisanego algorytmu została wykonana z wykorzystaniem biblioteki NumPy oraz podejścia obiektowego.

Ma ona około 100 linijek w związku z czym odsyłam do pliku `solution/interpolation.py` w załączonym kodzie źródłowym.

2.4 Metoda Simpsona

Metoda Simpsona, nazywana też metodą parabol, pozwala nam na wyznaczenie przybliżenia całki właściwej z funkcji $f(x)$ na przedziale $[a, b]$ poprzez podzielenie tego przedziału na m części (m - parzyste) na których możemy wyznaczyć przybliżenie całki korzystając z wielomianu drugiego stopnia:

$$\int_{x_i}^{x_{i+2}} f(x) dx \approx \frac{b-a}{3m} \left(f(x_i) + 4f(x_{i+1}) + f(x_{i+2}) \right) \quad (33)$$

A zatem sumując otrzymane całki otrzymujemy:

$$\int_a^b f(x) dx \approx \frac{b-a}{3m} \left[f(x_0) + 4f(x_1) + 2f(x_2) + 4f(x_3) + \dots + 4f(x_{m-1}) + f(x_m) \right] \quad (34)$$

2.4.1 Implementacja

Równanie (34) możemy wyrazić jako sumę elementów przemnożonych przez siebie wektorów, co znacznie ułatwia implementację:

```
1 def simpson_integral(f, a, b, m):
2     xs = np.linspace(a, b, m + 1)
3     ys = np.array(list(map(f, xs)))
4
5     constants = np.fromfunction(lambda i: 2 + 2 * (i % 2), shape=(m + 1,))
6     constants[[0, -1]] = 1
7
8     return (b - a) / m / 3 * (constants * ys).sum()
```

Kod źródłowy 3: Metoda Simpsona

2.5 Generacja równo odległych węzłów

W projekcie wymagane było również wygenerowanie równo odległych pomiarów na podstawie zadanych danych. W tym celu wykorzystane zostały funkcje sklejące pierwszego rzędu, na podstawie których następnie uzyskano równo odległe węzły.

2.5.1 Funkcje sklejące pierwszego rzędu

Algorytm ten polega na prostej liniowej interpolacji wartości w przedziale na podstawie jego znanych skrajnych wartości.

```
1 class LinearSpline:
2
3     def __init__(self, samples):
4         self._samples = samples
5
6     def __call__(self, x):
7         if not self._samples[0, 0] <= x <= self._samples[-1, 0]:
8             return np.nan
9
10        i = np.searchsorted(self._samples[:, 0], x)
11        dx = self._samples[i, 0] - self._samples[i - 1, 0]
12        dy = self._samples[i, 1] - self._samples[i - 1, 1]
13        a = dy / dx
14        return self._samples[i - 1, 1] + a * (x - self._samples[i - 1, 0])
```

Kod źródłowy 4: Funkcje sklejące pierwszego rzędu

2.5.2 Tabularyzacja funkcji

Mając daną funkcję f zdefiniowaną na przedziale $[a, b]$ możemy łatwo wyznaczyć n równo odległych pomiarów korzystając z poniższego kodu:

```
1 def tabularize(f, a, b, n):
2     xs = np.linspace(a, b, n)
3     ys = np.array(list(map(f, xs)))
4     return np.column_stack([xs, ys])
```

Kod źródłowy 5: Tabularyzacja funkcji

2.6 Metoda Newtona-Raphsona

Metoda Newtona-Raphsona jest iteracyjnym algorytmem pozwalającym na znalezienie (przybliżonego) pierwiastka x_p funkcji f należącej do klasy C^2 w zadanych przedziale, w którym to pierwsza oraz druga pochodna tej funkcji ma stały znak.

Klasyczna metoda opiera się na wyznaczeniu ciągu iteracyjnego x_n który dąży do naszego szukanego x_p . Ciąg ten zadany jest wzorem:

$$x_{n+1} = x_n - \frac{f(x_n)}{f'(x_n)} \quad (35)$$

W tym projekcie metoda ta wykorzystywana będzie dla funkcji dla których nie znamy dokładnych wartości $f'(x)$ w związku z czym zostaną one przybliżone wg wzoru:

$$f'(x) \approx \frac{f(x + \Delta x) - f(x)}{\Delta x} \quad (36)$$

2.6.1 Stabilność numeryczna

Niestety metoda w wersji przytoczonej powyżej jest niestabilna numerycznie, co berze się z dzielenia f przez f' w (36). Gdy mamy do czynienia z funkcją, która przyjmuje w x_n wartość znacznie odstającą rzędem wielkości od pochodnej w tym punkcie zaczynamy obserwować duże błędy obliczeniowe.

Aby zniwelować ten problem poniższa implementacja uzupełniona została o parametr skali S , który (odpowiednio dobrany) pozwala zniwelować ten problem poprzez odpowiednie przeskalowanie wartości badanej funkcji podczas wyznaczania zmiany x :

$$x_{n+1} = x_n - S \frac{f(x_n)}{f'(x_n)} \quad (37a)$$

$$f'(x) \approx \frac{S(f(x + \Delta x) - f(x))}{\Delta x} \quad (37b)$$

2.6.2 Implementacja

```
1 class NewtonRaphson:
2
3     def __init__(self, f, x0, dx, scale=1.0):
4         self._f = f
5         self._x = x0
6         self._dx = dx
7         self._scale = scale
8
9         self._history = [(self.x, self.y)]
10
11     def step(self):
12         y1 = self._f(self._x)
13         y2 = self._f(self._x + self._dx)
14         dy = (y2 - y1) * self._scale
15         df = dy / self._dx
16
17         self._x -= y1 / df * self._scale
18
19     ...
```

Kod źródłowy 6: Metoda Newtona-Raphsona

3 Część 1: Symulacja procesu wymiany ciepła

Rozdział ten opisuje pierwszą część projektu, w której to zaimplementowano i przetestowano model symulujący wymianę ciepła pomiędzy prętem a cieczą chłodzącą. Szczegółowy opis implementacji znajduje się w sekcji 2.1, natomiast testy i wyniki symulacji znajdują się poniżej.

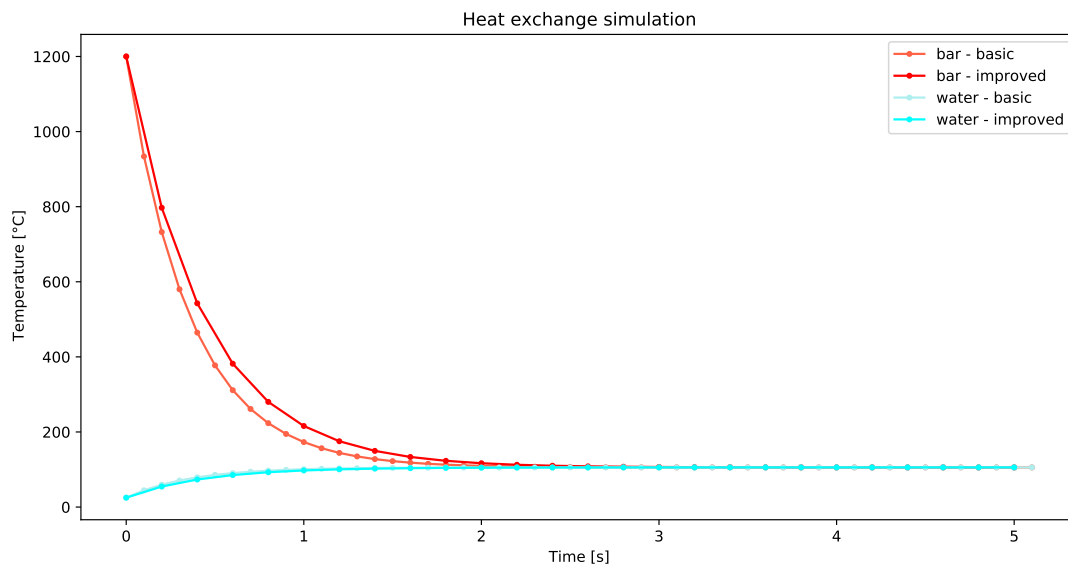
Warto zwrócić uwagę, że w tym rozdziale testowane są dwa warianty metody Eulera, metoda podstawowa oraz metoda zmodyfikowana. Jako że metoda zmodyfikowana w każdym kroku symulacji dwa razy oblicza pochodną (efektywnie wykonując dwa kroki), we wszystkich testach w tym rozdziale metoda zmodyfikowana uruchamiana jest z dwukrotnie większym krokiem symulacji, co pozwala na poprawne porównanie tych metod.

3.1 Wstępna weryfikacja rozwiązania

Weryfikację poprawności rozwiązania rozpoczęto od przeprowadzenia próbnej symulacji mającej na celu wstępne porównanie jej przebiegu z przebiegiem podanym w opisie projektu. Parametry symulacji były następujące (poprzez zapis $dt = 0.1, 0.2$ rozumiemy krok 0.1 dla metody podstawowej oraz krok 0.2 dla metody zmodyfikowanej):

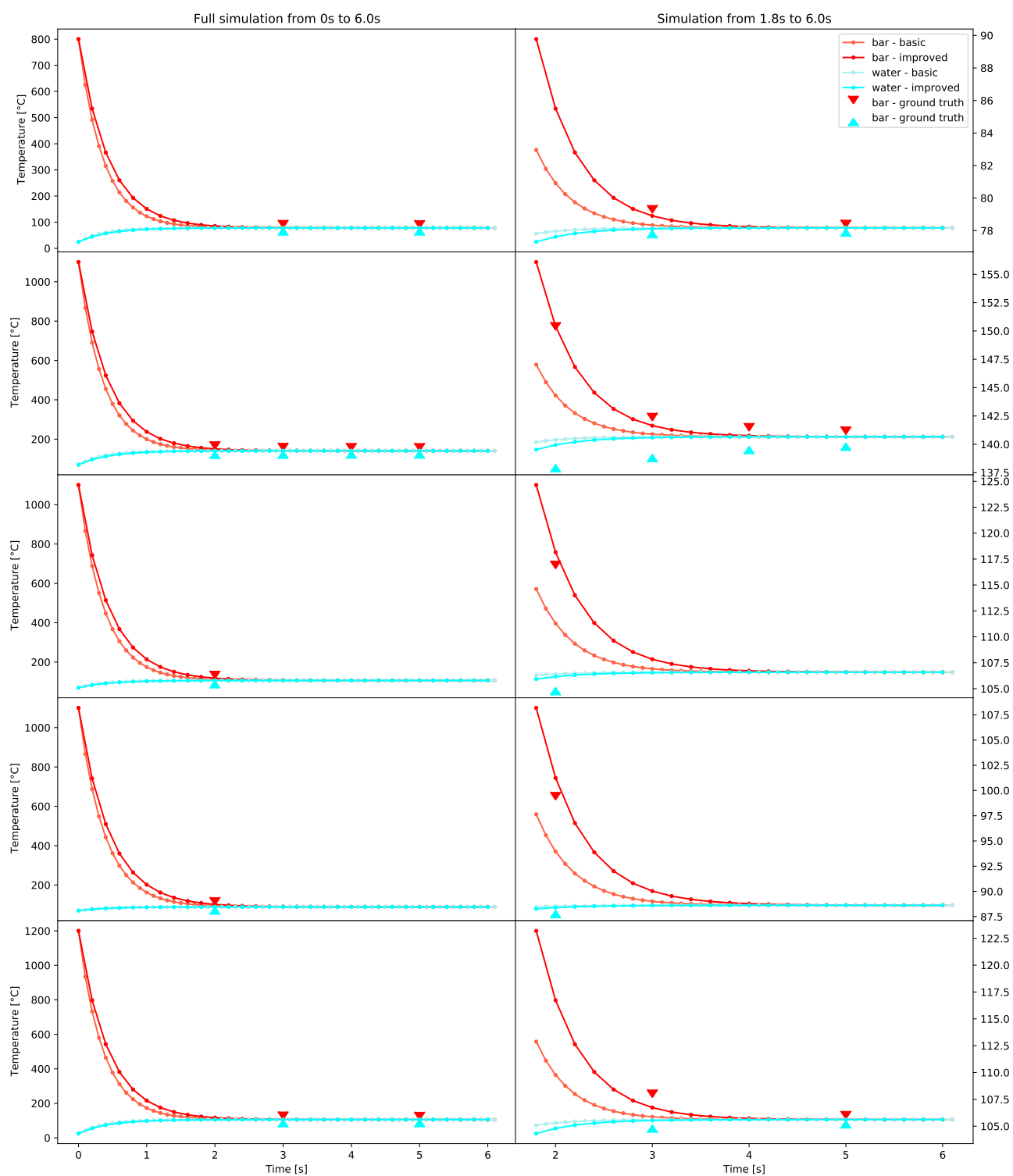
$T_b = 1200.0$	$m_b = 0.2$	$c_b = 3.85$
$T_w = 25.0$	$m_w = 2.5$	$c_w = 4.1813$
$h = 160$	$a = 0.0109$	$dt = 0.1, 0.2$

Uzyskany przebieg symulacji prezentuje się następująco:



Rysunek 1: Przebieg testowej symulacji wymiany ciepła

Analiza rysunku 1 pozwoliła wstępnie potwierdzić poprawność zaimplementowanego algorytmu.



Rysunek 2: Przebiegi symulacji dla danych pomiarowych

3.2 Przebiegi dla zadanych eksperymentów pomiarowych

W celu dokładniejszej weryfikacji poprawności implementacji wykorzystano dane pomiarowe przedstawione w tabeli 1 dla których to wygenerowano przebiegi symulacji z krokami czasowymi odpowiednio $dt = 0.1$ oraz $dt = 0.2$, czego rezultaty widoczne na rysunku 2.

Tablica 1: Dane z eksperymentów pomiarowych

	T_b	T_w	m_b	m_w	c_b	c_w	h	a	t	$T_b(t)$	$T_w(t)$
2	800.0	25.0	0.2	2.5	3.85	4.1813	160.0	0.0109	3.0	79.1	78.0
5	800.0	25.0	0.2	2.5	3.85	4.1813	160.0	0.0109	5.0	78.2	78.1
6	1100.0	70.0	0.2	2.5	3.85	4.1813	160.0	0.0109	2.0	150.1	138.2
3	1100.0	70.0	0.2	2.5	3.85	4.1813	160.0	0.0109	3.0	142.1	139.1
9	1100.0	70.0	0.2	2.5	3.85	4.1813	160.0	0.0109	4.0	141.2	139.8
10	1100.0	70.0	0.2	2.5	3.85	4.1813	160.0	0.0109	5.0	140.9	140.1
7	1100.0	70.0	0.2	5.0	3.85	4.1813	160.0	0.0109	2.0	116.6	105.1
8	1100.0	70.0	0.2	10.0	3.85	4.1813	160.0	0.0109	2.0	99.1	88.1
1	1200.0	25.0	0.2	2.5	3.85	4.1813	160.0	0.0109	3.0	107.7	105.1
4	1200.0	25.0	0.2	2.5	3.85	4.1813	160.0	0.0109	5.0	105.7	105.5

Wstępna analiza przebiegów widocznych w lewej kolumnie na rysunku 2 pokazuje, że symulacja przebiega zgodnie z oczekiwaniami. Jednak po dokładniejszej analizie z wykorzystaniem prawej kolumny (są to te same, przybliżone wykresy) widzimy, że nie w każdym przypadku uzyskane wyniki są idealne.

Dokładna analiza błędów znajduje się w następnym podrozdziale, natomiast na tą chwilę warto zauważyć że zmodyfikowana/ulepszona wersja algorytmu Eulera rzeczywiście jest lepsza, ponieważ w porównaniu do wersji podstawowej daje wyniki bliższe danym pomiarowym.

3.3 Analiza błędów

W tabeli 2 przedstawione zostało dokładne porównanie wyników uzyskanych dwoma metodami w odniesieniu do danych pomiarowych z tabeli 1.

Analizując wartości w kolumnach **Error** widzimy, że każdym przypadku metoda zmodyfikowana jest lepsza od metody podstawowej. W niektórych przypadkach różnica ta jest bardzo mała, ale są też takie w których metoda zmodyfikowana jest dwukrotnie lepsza.

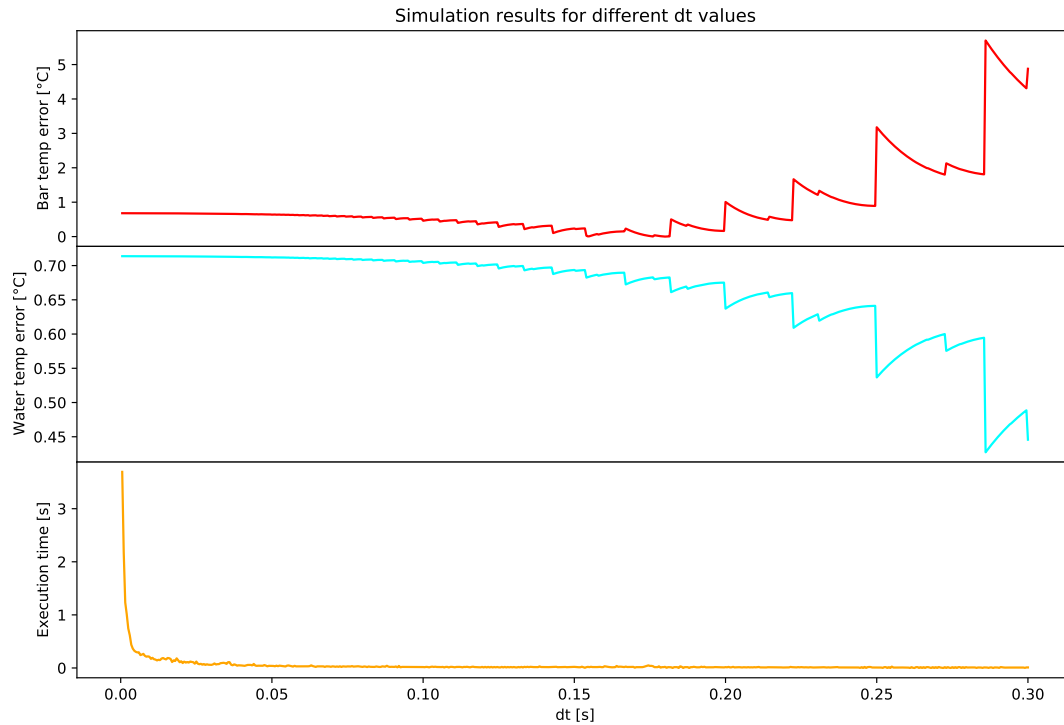
Tablica 2: Błędy symulacji względem danych pomiarowych

	T_b					T_w				
	gt	Basic		Improved		gt	Basic		Improved	
	Value	Value	Error	Value	Error	Value	Value	Error	Value	Error
2	79.1	78.34	0.7600	78.91	0.1907	78.0	78.16	0.1584	78.12	0.1165
5	78.2	78.17	0.0286	78.18	0.0216	78.1	78.17	0.0708	78.17	0.0703
6	150.1	144.31	5.7879	146.82	3.2793	138.2	140.40	2.1972	140.21	2.0124
3	142.1	140.89	1.2094	141.65	0.4528	139.1	140.65	1.5492	140.59	1.4935
9	141.2	140.68	0.5203	140.76	0.4353	139.8	140.66	0.8648	140.66	0.8585
10	140.9	140.67	0.2335	140.68	0.2242	140.1	140.67	0.5658	140.67	0.5651
7	116.6	111.29	5.3106	114.00	2.6028	105.1	106.41	1.3149	106.32	1.2151
8	99.1	93.96	5.1390	96.77	2.3340	88.1	88.53	0.4265	88.47	0.3749
1	107.7	105.87	1.8297	106.73	0.9665	105.1	105.60	0.4950	105.53	0.4314
4	105.7	105.61	0.0854	105.63	0.0747	105.5	105.61	0.1138	105.61	0.1131

3.4 Analiza wpływu parametrów

Algorytm ten posiada 9 parametrów, jednak tylko jeden, krok czasowy dt , jest parametrem związanym z samą symulacją, a nie z opisem zjawiska fizycznego. Dlatego też to na tym parametrze się skupiono, próbując tak dobrać jego wartość aby symulacja dawała jak najlepsze wyniki.

W ramach badania przetestowano dt z zakresu $[0.0005, 0.3]$.



Rysunek 3: Wyniki symulacji w zależności od dt

Z analizy wykresu 3 wyciągnięto następujące wnioski:

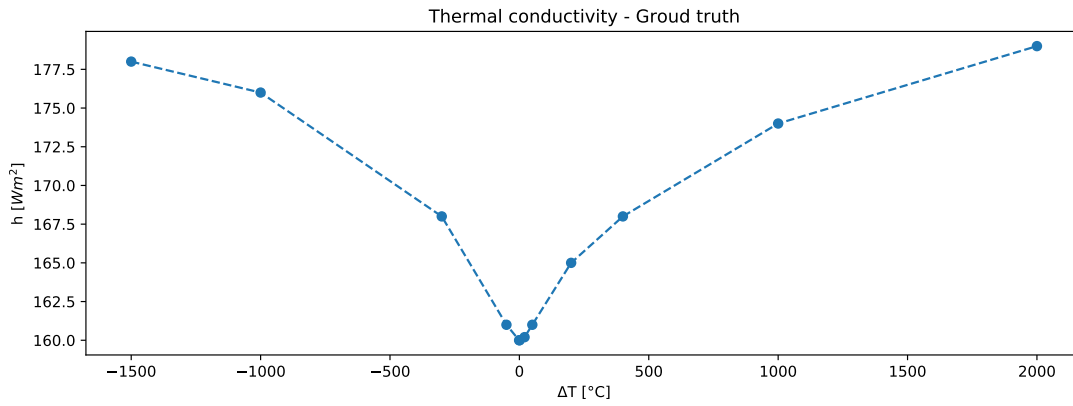
- Najlepsze wyniki symulacji temperatury prętu otrzymujemy dla $dt \in [0.15, 0.18]$.
- Dla wartości dt powyżej ok. 0.15 zaczynamy obserwować niestabilność numeryczną, jako że krok symulacji jest zbyt duży i tracimy dokładność przybliżenia.
- Z wykresu można by wywnioskować, że im większe dt tym mniejszy błąd T_w , jednak warto zwrócić uwagę na skalę wykresów. Błąd T_w jest nie znaczący w porównaniu do T_b . W związku z tym wartości $dt \in [0.15, 0.18]$ są najbardziej optymalne.

Tablica 3: Dane pomiarowe współczynnika ciepła h

$\Delta T [^{\circ}\text{C}]$	-1500	-1000	-300	-50	-1	1	20	50	200	400	1000	2000
$h [\text{Wm}^{-2}]$	178	176	168	161	160	160	160.2	161	165	168	174	179

4 Część 2: Wyznaczanie funkcji współczynnika ciepła

Celem tej części projektu było wyznaczenie funkcji opisującej współczynnik ciepła h w zależności od różnicy temperatur $|T_b - T_w|$ na podstawie zadanych danych pomiarowych widocznych w tabeli 3 oraz na wykresie 4.

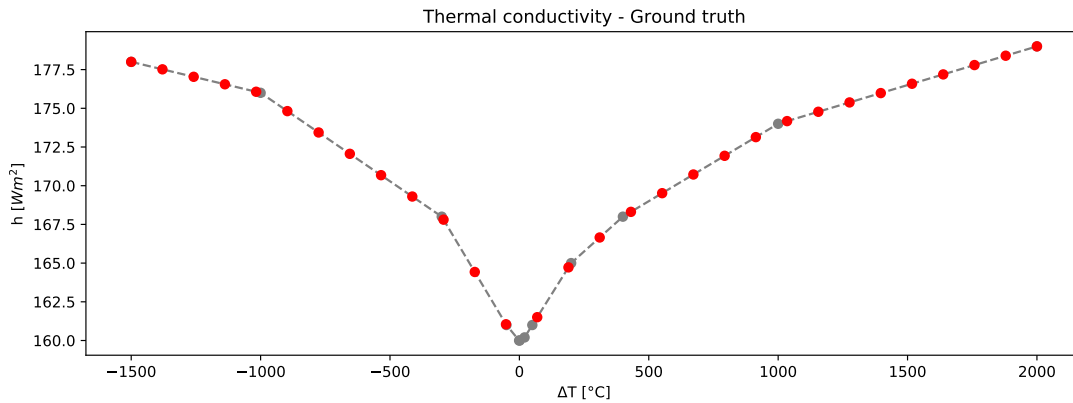


Rysunek 4: Dane pomiarowe współczynnika ciepła h

4.1 Generacja równoodległych węzłów

Podane dane pomiarowe współczynnika ciepła nie są równomiernie rozłożone na osi OX co może być problematyczne dla niektórych algorytmów interpolacji/aproksymacji. Algorytmy wykorzystane w tym projekcie nie mają takich ograniczeń mimo to zdecydowałem się na zaimplementowanie algorytmu generacji równoodległych węzłów w ramach ćwiczenia.

Implementacja, wykorzystująca funkcje sklepane pierwszego rzędu, została szczegółowo opisana w podrozdziale 2.5. Wizualizacja tego procesu dla 30 węzłów (istnieje pełna możliwość doboru tej wartości) znajduje się na rysunku 5

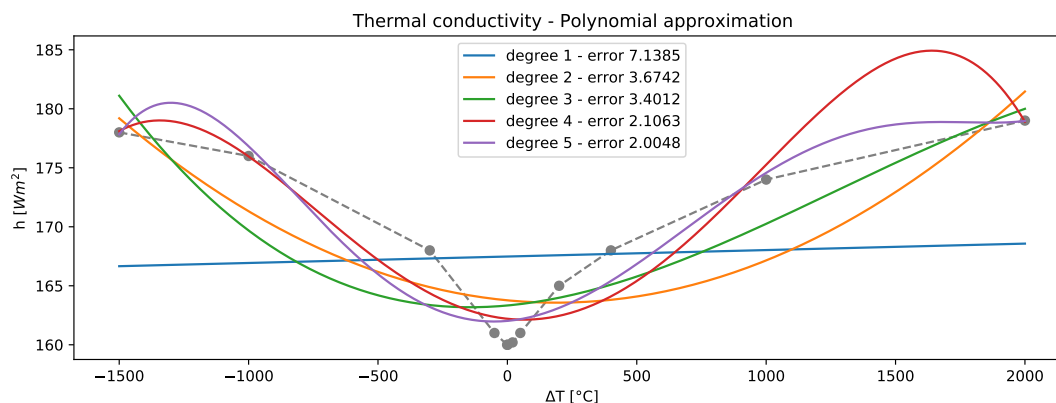


Rysunek 5: Generacja równoodległych węzłów współczynnika ciepła h

4.2 Aproksymacja wielomianowa

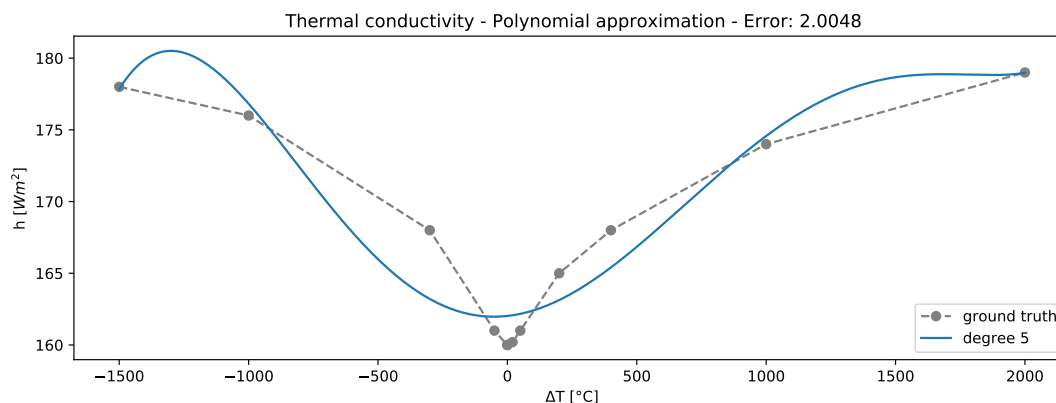
Pierwszym algorytmem zastosowanym do wyznaczenia przebiegu funkcji h był algorytm aproksymacji wielomianowej metodą najmniejszych kwadratów. Został on szczegółowo opisany i zaimplementowany w podrozdziale 2.2.

Na rysunku 6 przedstawiono wielomiany aproksymujące różnego stopnia wraz z błędami aproksymacji. Dla stopnia powyżej 5, funkcje te znacząco odstawały od oczekiwanej krzywej, dlatego zostały pominięte.



Rysunek 6: Wielomiany aproksymujące funkcję h

Najlepsze wyniki (najmniejszy błąd aproksymacji) uzyskano dla wielomianu stopnia 5. Dlatego w dalszych częściach to właśnie jego będziemy używać.

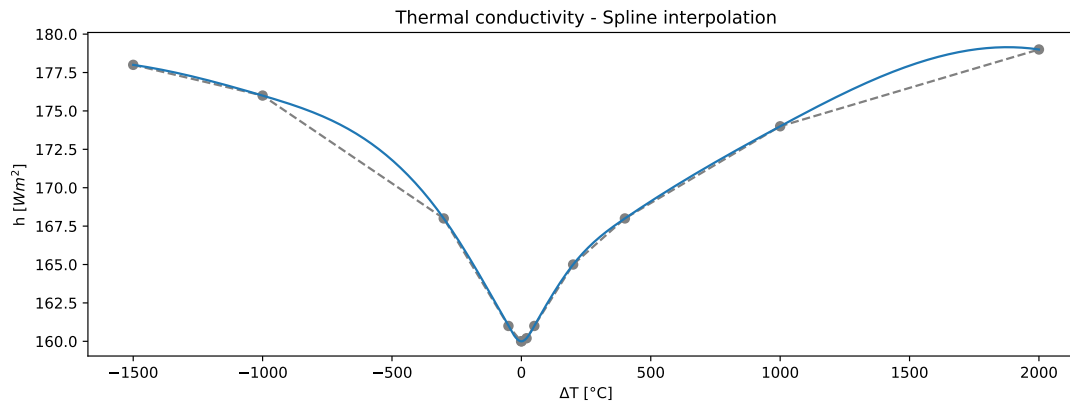


Rysunek 7: Wielomian stopnia 5 aproksymujący funkcję h

4.3 Interpolacja funkcjami sklejanymi

Drugim zastosowanym algorytmem był algorytm interpolacji funkcjami sklejanymi trzeciego stopnia. Zaimplementowana przeze mnie wersja (opisana w podrozdziale 2.3) nie wymaga aby węzły były równoodległe, a zatem można jej użyć bezpośrednio na dostępnych danych.

Jak widać na wykresie 8 funkcja sklejana dała zdecydowanie lepsze wyniki niż te uzyskane aproksymacją wielomianową. Dokładne ich porównanie znajduje się w następnym podpunkcie.



Rysunek 8: Funkcja sklejana interpolująca h

4.4 Różnica przebiegów

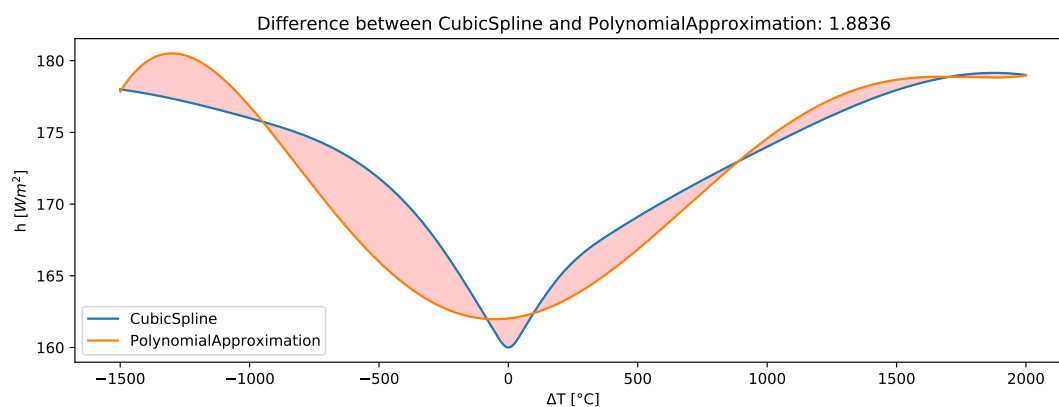
W celu porównania powyżej przedstawionych metod zastosowano miarę określającą średnią różnicę przebiegów dwóch funkcji f i g na przedziale $[a, b]$ zdefiniowaną jako:

$$e_{\text{avg}} = \frac{1}{b-a} \int_a^b |g(x) - f(x)| dx \quad (38)$$

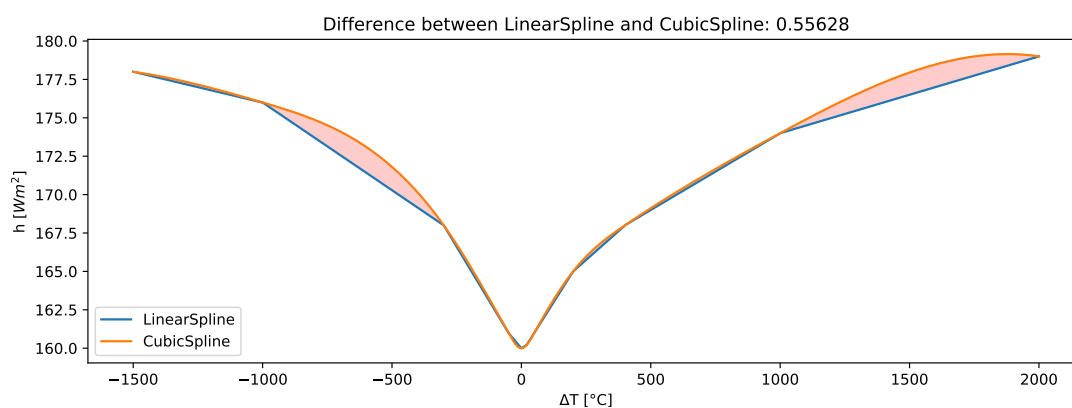
Przybliżenie powyższej całki wyznaczone było z wykorzystaniem metody Simpsona opisanej w 2.4.

Na rysunkach 9, 10 oraz 11 przedstawiono została wizualizacja e_{avg} .

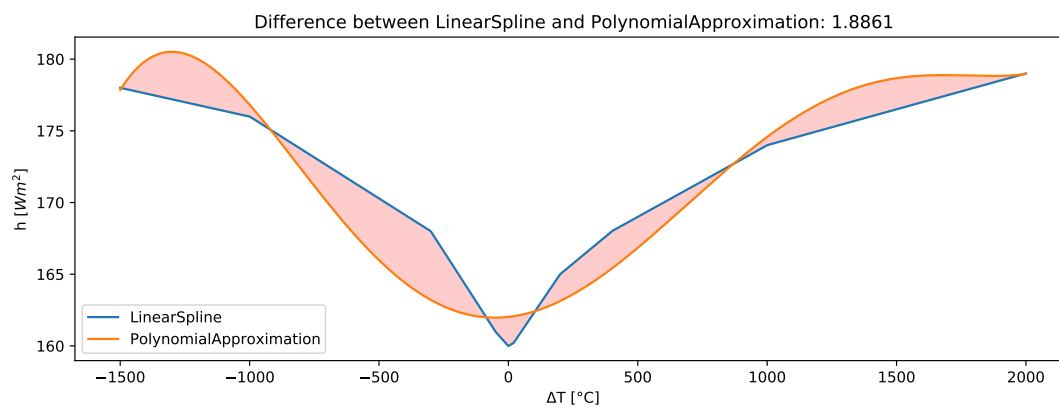
Interpolacja funkcjami sklejonymi uzyskała błąd względem interpolacji liniowej równy 0.55628, podczas gdy aproksymacja wielomianowa otrzymała 1.8861. W związku z czym możemy potwierdzić obserwację z poprzedniego punktu i uznać, że interpolacja funkcjami sklejonymi sprawdza się lepiej w przypadku tych danych.



Rysunek 9: Różnica między CubicSpline oraz PolynomialApproximation



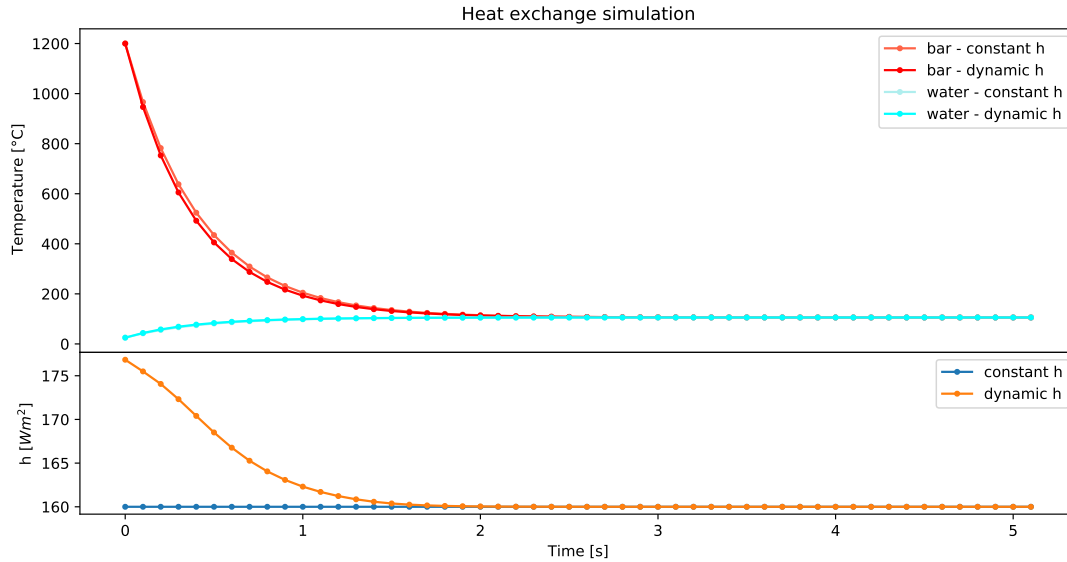
Rysunek 10: Różnica między LinearSpline oraz CubicSpline



Rysunek 11: Różnica między LinearSpline oraz PolynomialApproximation

4.5 Wpływ dynamicznego współczynnika h na symulację

W celu zbadania wpływu wykorzystania dynamicznego współczynnika h w symulacji (zamiast stałego, przyjętego wcześniej jako 160), przygotowano wykres przedstawiający przebiegi symulacji (rys. 12) oraz tabelę zawierającą porównanie błędów (tabela 4).



Rysunek 12: Przebieg symulacji dla stałego i dynamicznego h

Tabela 4: Porównanie błędów symulacji dla stałego i dynamicznego h

	T_b (const)	T_b (dynamic)	T_w (const)	T_b (dynamic)
2	0.004995	0.005641	0.001686	0.001735
5	0.000329	0.000333	0.000904	0.000905
6	0.010571	0.016693	0.013660	0.014149
3	0.005098	0.005683	0.010881	0.010925
9	0.003329	0.003382	0.006159	0.006163
10	0.001630	0.001634	0.004036	0.004036
7	0.004014	0.013635	0.010814	0.011207
8	0.000571	0.011942	0.003755	0.004015
1	0.011852	0.012810	0.004322	0.004395
4	0.000765	0.000772	0.001076	0.001076

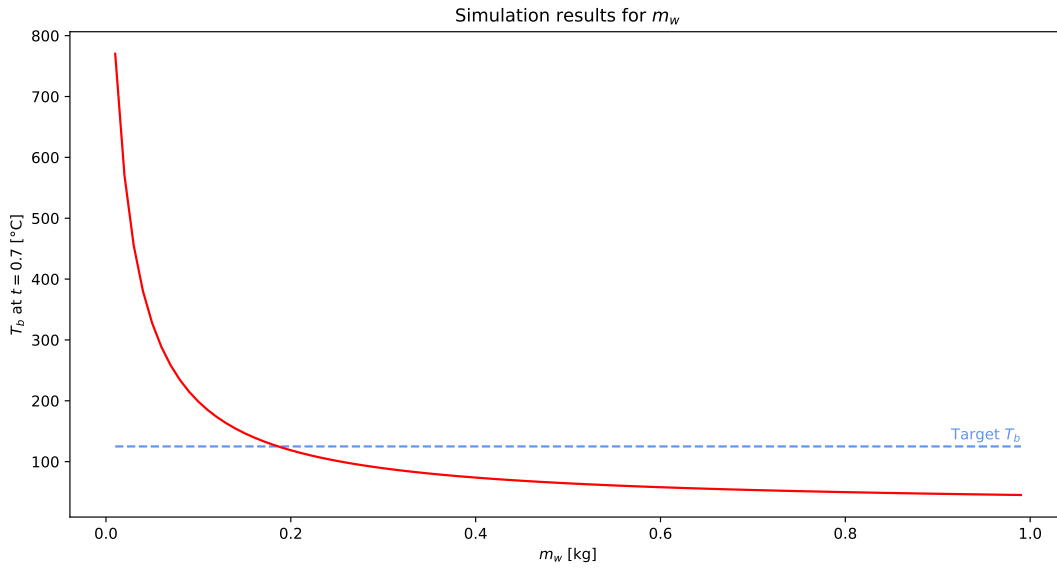
Zarówno przebiegi symulacji jak i błędy przedstawione w tabeli pokazują, że mimo iż obydwa podejścia dają bardzo zbliżone wyniki, to niestety symulacje z dynamicznym współczynnikiem h są nieznacznie gorsze. Przyczyn takiej sytuacji może być wiele, począwszy od sposobu uzyskania danych pomiarowych, a skończywszy na sposobie przeprowadzania interpolacji oraz symulacji, w związku z czym w projekcie tym pominięto poszukiwania tej przyczyny.

5 Część 3: Wyznaczanie minimalnej masy oleju

Celem tej części projektu było wyznaczenie minimalnej masy oleju (m_w) niezbędnej do wychłodzenia pręta do temperatury 125°C po czasie 0.7s . W zadaniu tym przejęto następujące parametry:

$T_b = 1200.0$	$m_b = 0.25$	$c_b = 0.29$
$T_w = 25.0$	$m_w = ?$	$c_w = 4.1813$
$h = h(T_b - T_w)$	$a = 0.0109$	$dt = 0.1$

Zależność temperatury pręta T_b po czasie 0.7s od masy oleju m_w przedstawiona została na rysunku 13.



Rysunek 13: Zależność T_b od m_w po czasie 0.7s

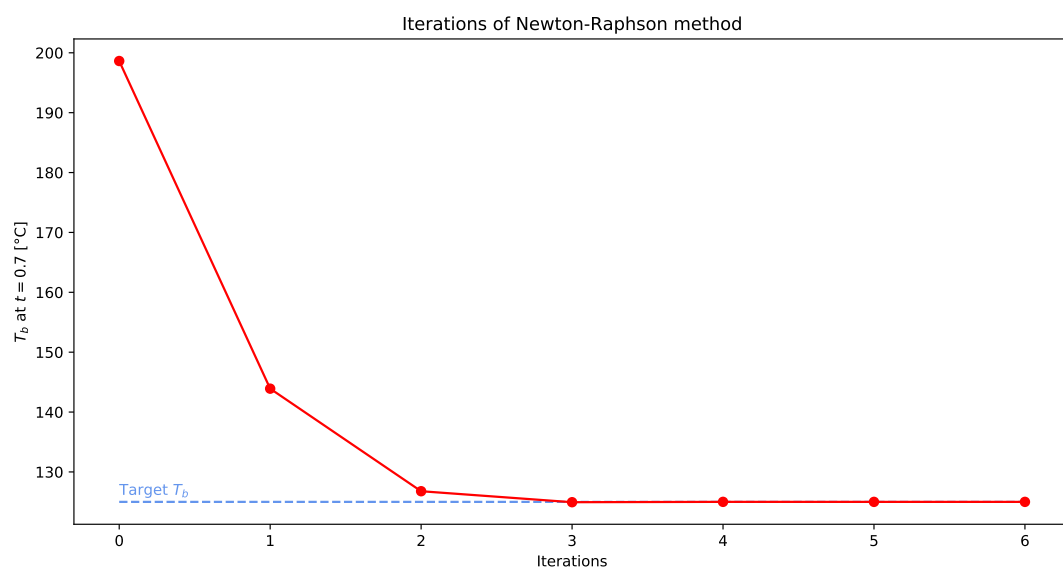
Celem tego zadania będzie znalezienie wartości m_w dla której $T_b = 125$, a zatem punktu przecięcia niebieskiej i czerwonej linii na wykresie.

Poszukiwanie tej wartości zrealizowane zostało z wykorzystaniem metody Newtona-Raphsona, która opisana została w podrozdziale 2.6.

Po przyjęciu masy początkowej równej $m_{w0} = 0.1$, kroku $\Delta m_w = 0.01$ oraz poszukiwanej dokładności $\epsilon = 10^{-5}$ po sześciu krokach iteracji otrzymano wynik:

$$m_w = 0.1863953911392946$$

Przebieg zbieżności tego procesu widoczny jest na rysunku 14.



Rysunek 14: Przebieg metody Newton-Raphson dla wyznaczania minimalnej masy oleju

6 Część 4: Optymalizacja procesu chłodzenia

Z powodu grubego niedoszacowania czasu potrzebnego na tą część projektu oraz spraw prywatnych w ostatnim okresie nie udało mi się zrealizować tej części projektu w stopniu nadającym się do prezentacji.

Spis rysunków

1	Przebieg testowej symulacji wymiany ciepła	13
2	Przebiegi symulacji dla danych pomiarowych	14
3	Wyniki symulacji w zależności od dt	16
4	Dane pomiarowe współczynnika ciepła h	17
5	Generacja równoodległych węzłów współczynnika ciepła h	17
6	Wielomiany aproksymujące funkcję h	18
7	Wielomian stopnia 5 aproksymujący funkcję h	18
8	Funkcja sklejana interpolująca h	19
9	Różnica między CubicSpline oraz PolynomialApproximation	20
10	Różnica między LinearSpline oraz CubicSpline	20
11	Różnica między LinearSpline oraz PolynomialApproximation	20
12	Przebieg symulacji dla stałego i dynamicznego h	21
13	Zależność T_b od m_w po czasie $0.7s$	22
14	Przebieg metody Newton-Raphson dla wyznaczania minimalnej masy oleju	23

Spis tablic

1	Dane z eksperymentów pomiarowych	15
2	Błędy symulacji względem danych pomiarowych	15
3	Dane pomiarowe współczynnika ciepła h	17
4	Porównanie błędów symulacji dla stałego i dynamicznego h	21

Spis kodów źródłowych

1	Metoda Eulera	5
2	Aproksymacja wielomianowa	6
3	Metoda Simpsona	10
4	Funkcje sklepane pierwszego rzędu	11
5	Tabularyzacja funkcji	11
6	Metoda Newtona-Raphsona	12